

computer vision

五章 多視点幾何

自己紹介

- ・ 中川 高志
- ・ 2年前に5人で独立して会社立ち上げました

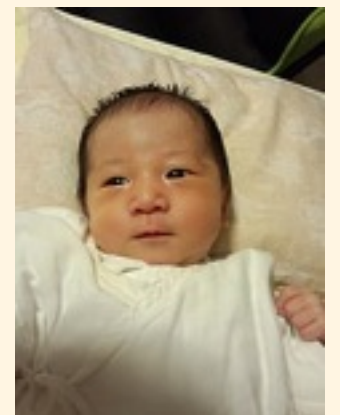
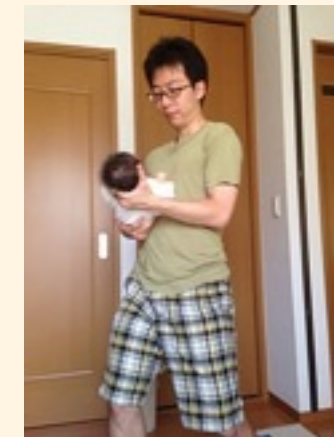
会社のサイト

<http://www.cflat-inc.com/>

会社のブログ（週一回更新）

<http://cflat-inc.hatenablog.com/>

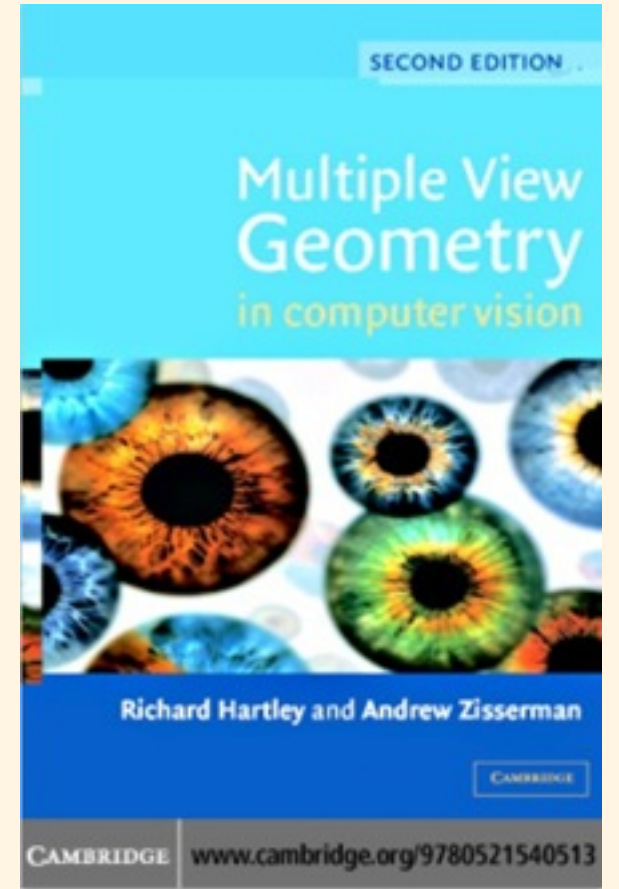
- ・ 趣味：娘の抱っこ
(先々週父になりました)



- ・ courseraのmachine learningが今週から始まったので見始めました

目次

- エピポーラ幾何
- カメラと3D構造を使った計算
- 多視点による復元
- ステレオ画像



↑ 今回の内容は全て
ここに詳しく載ってます。

エピポーラ幾何

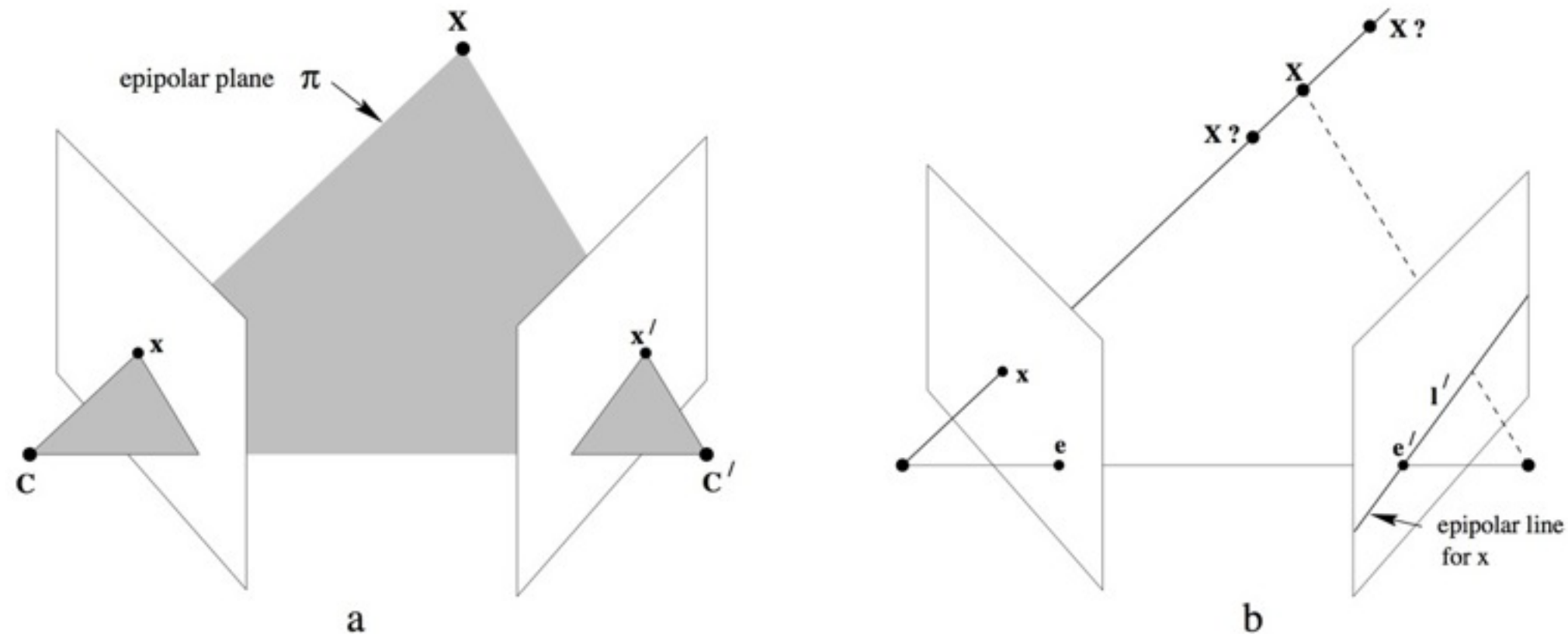
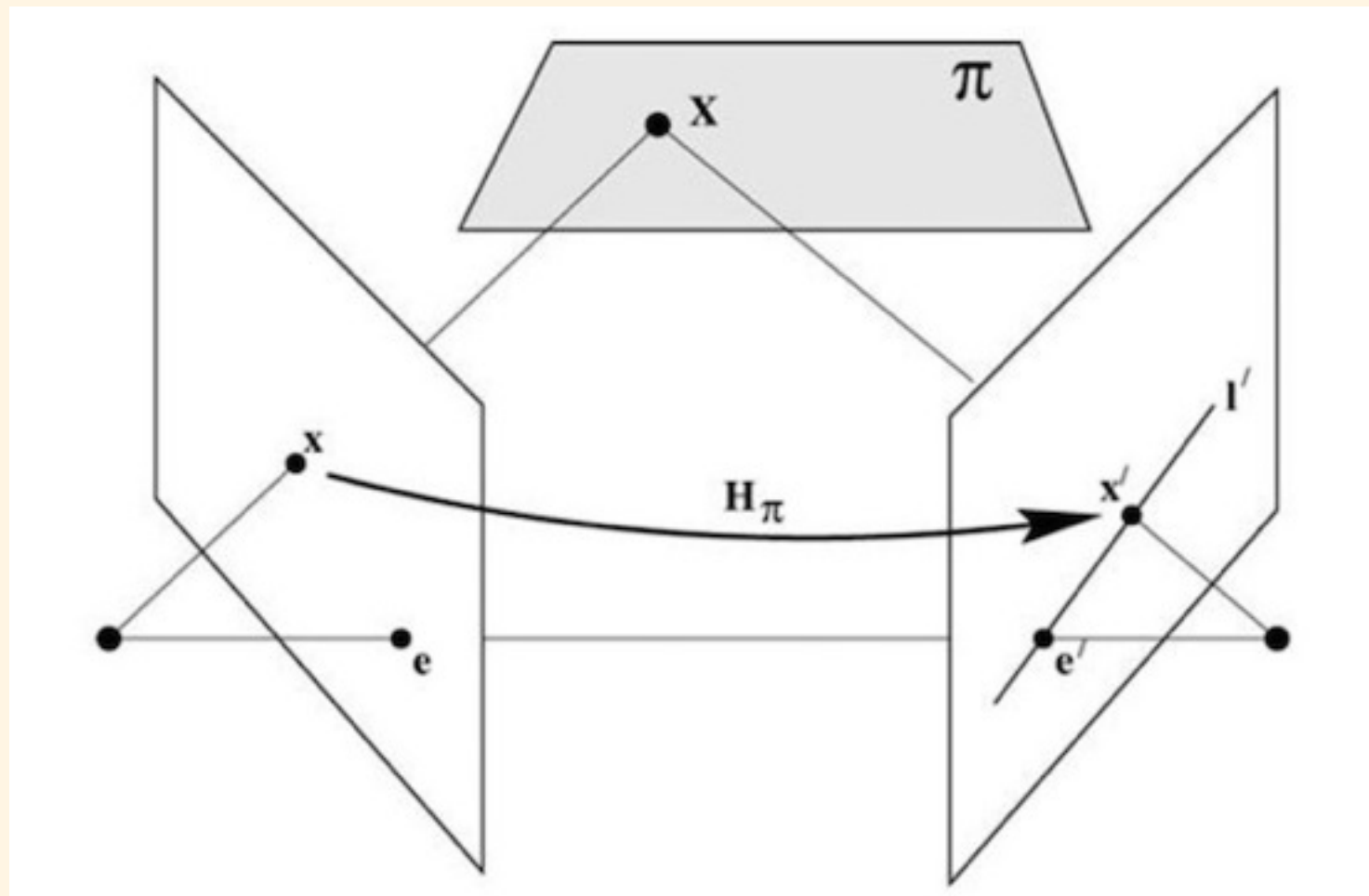


Fig. 9.1. **Point correspondence geometry.** (a) The two cameras are indicated by their centres C and C' and image planes. The camera centres, 3-space point X , and its images x and x' lie in a common plane π . (b) An image point x back-projects to a ray in 3-space defined by the first camera centre, C , and x . This ray is imaged as a line l' in the second view. The 3-space point X which projects to x must lie on this ray, so the image of X in the second view must lie on l' .

エピポーラ制約

$$x_2^T F x_1 = 0$$

エピソード幾何



$$x' = H_\pi x$$

$$F = [e']_\times H_\pi$$

$$l' = e' \times x' = [e']_\times x' = [e']_\times H_\pi x = Fx$$

直線 l' は x にある変換 F を施す事得られる

エピポーラ幾何

Fはランク 2

※点から線への変換なのでランク 2 でなければならない

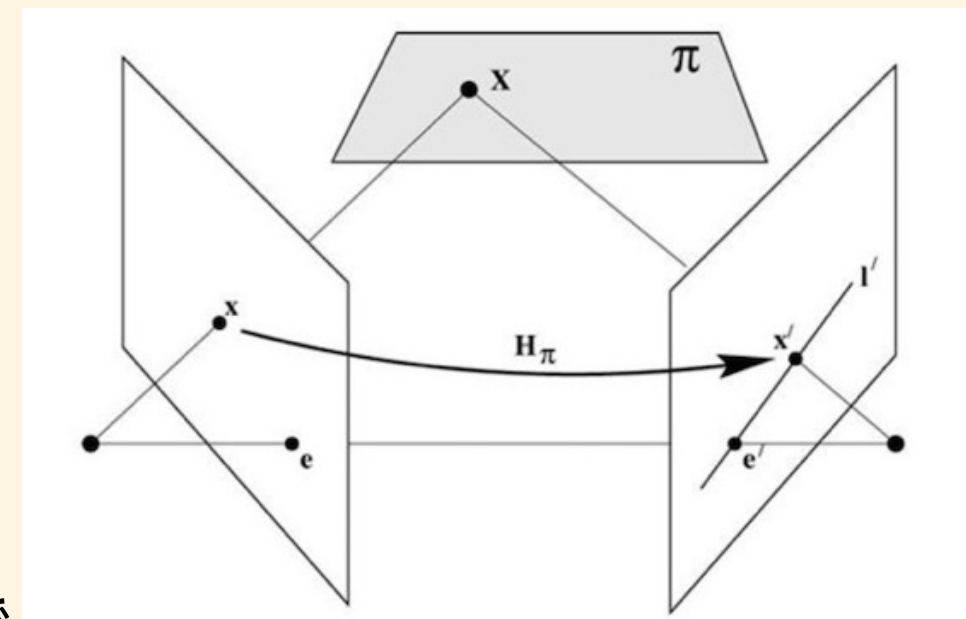
x' と l' は同一直線上であることから、

$$0 = x'^T l' = x'^T F x$$

また、以下の式が全ての x について成り立つので

$$0 = e'^T l' = e'^T F x = (e'^T F) x$$
$$e'^T F = 0$$

$x_2^T F x_1 = 0 \longrightarrow$ F行列が分かれば、カメラ行列を求める事が出来る



エピポラ幾何

エピポール線はエピ極で交わる

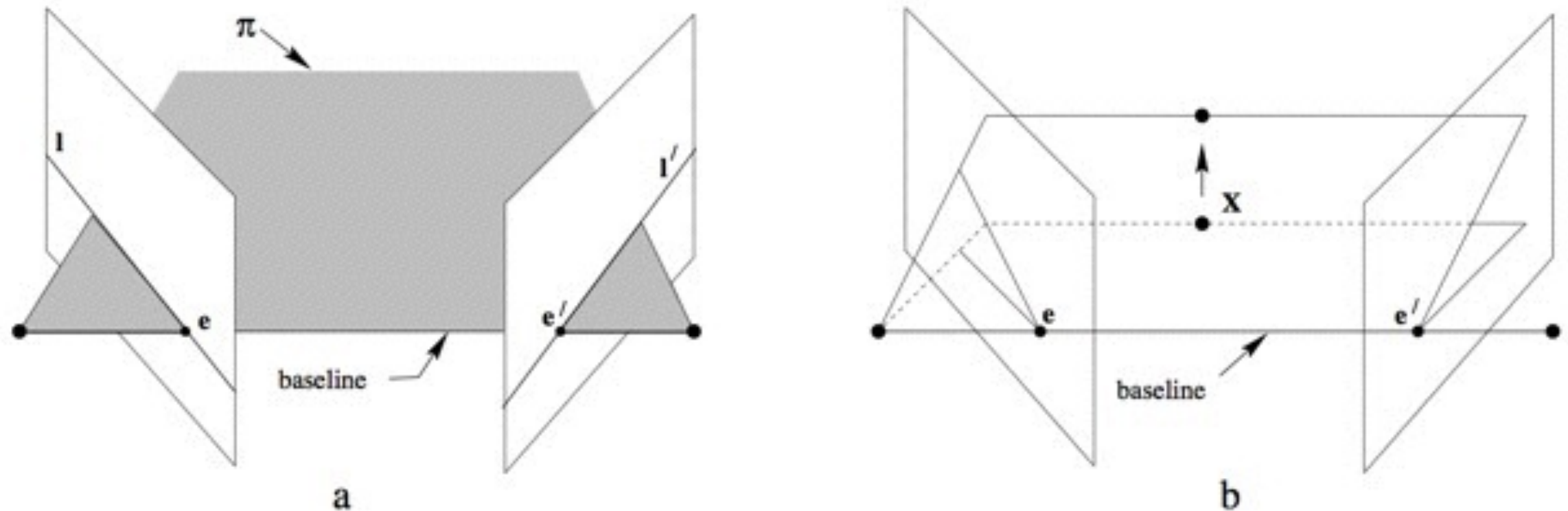


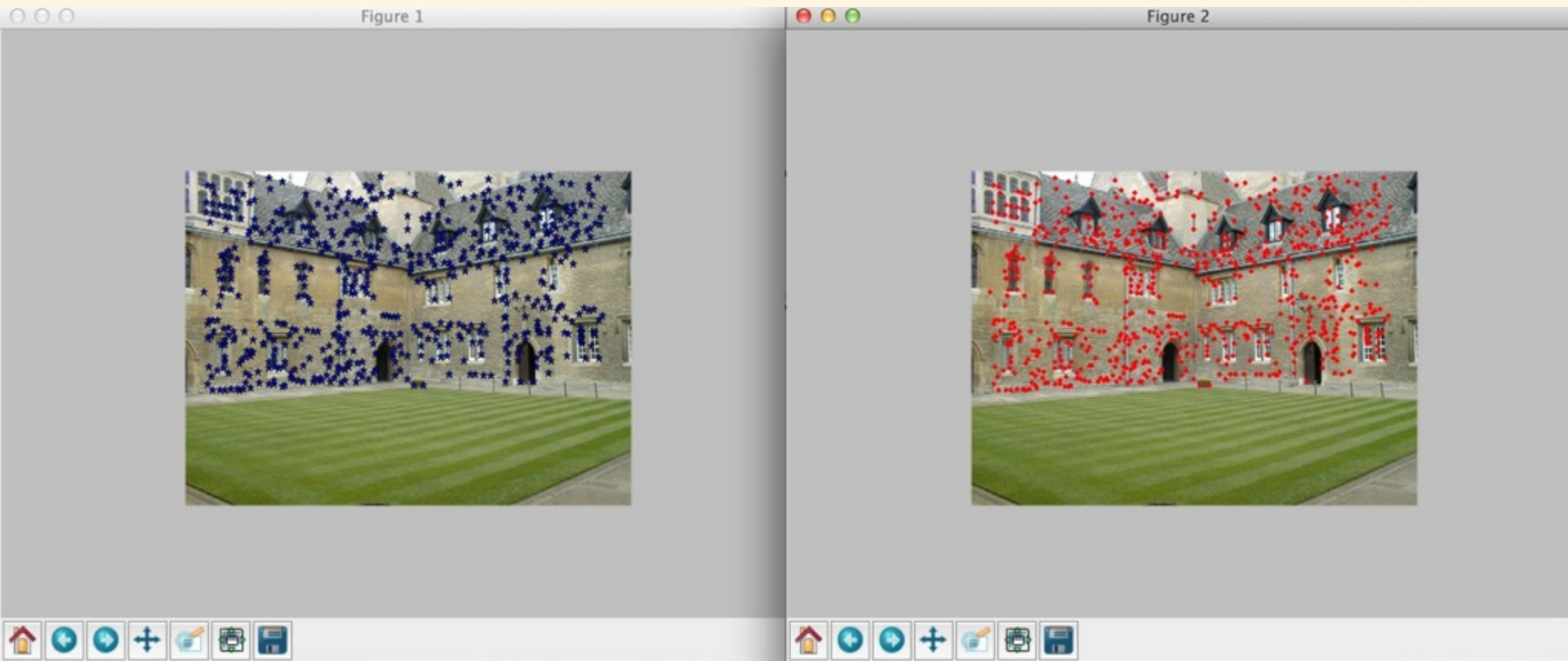
Fig. 9.2. **Epipolar geometry.** (a) The camera baseline intersects each image plane at the epipoles e and e' . Any plane π containing the baseline is an epipolar plane, and intersects the image planes in corresponding epipolar lines l and l' . (b) As the position of the 3D point X varies, the epipolar planes “rotate” about the baseline. This family of planes is known as an epipolar pencil. All epipolar lines intersect at the epipole.

5.1.1.merton2d.pyを実行

用いるサンプルセットの中身を視覚的に確認

画像 1 の特徴点

3次元上の点群を画像 1 に射影



赤点の方が多い

∴ 画像 2, 画像 3 の特徴点から生成された点群もあるため

load_vggdata.pyの実行結果

list

array

```
ipdb> points2D
```

```
[array([[ 718.79 , 676.587, 675.319, ..., 479.229, 475.771, 474.916], [ 263.096, 424.715, 394.656, ..., 441.16 , 429.052, 419.315]]),  
array([[ 689.792, 688.621, 951.71 , ..., 470.376, 466.728, 466.172], [ 460.223, 428.371, 438.48 , ..., 475.694, 462.309, 452.315]]),  
array([[ 755.058, 969.715, 748.762, ..., 501.171, 497.93 , 497.132], [ 302.399, 462.839, 125.158, ..., 501.598, 487.109, 478.137]])]
```

画像1のx座標

画像1のy座標

画像2のx座標

画像2のy座標

画像3のx座標

画像3のy座標

```
ipdb> points3D
```

```
array([[ 3.7585792 , 1.0378863 , 1.5606923 , ..., 2.7471349 , 0.73672803, 0.97395698],  
       [-0.44845037, -0.54627892, -0.5211711 , ..., 1.4925585 , 0.6206597 , 0.64403613],  
       [ 4.4300374 , 3.4601538 , 3.4636809 , ..., 0.00678837, -0.17002507, -0.23360821]])
```

x座標

y座標

z座標

```
ipdb> corr
```

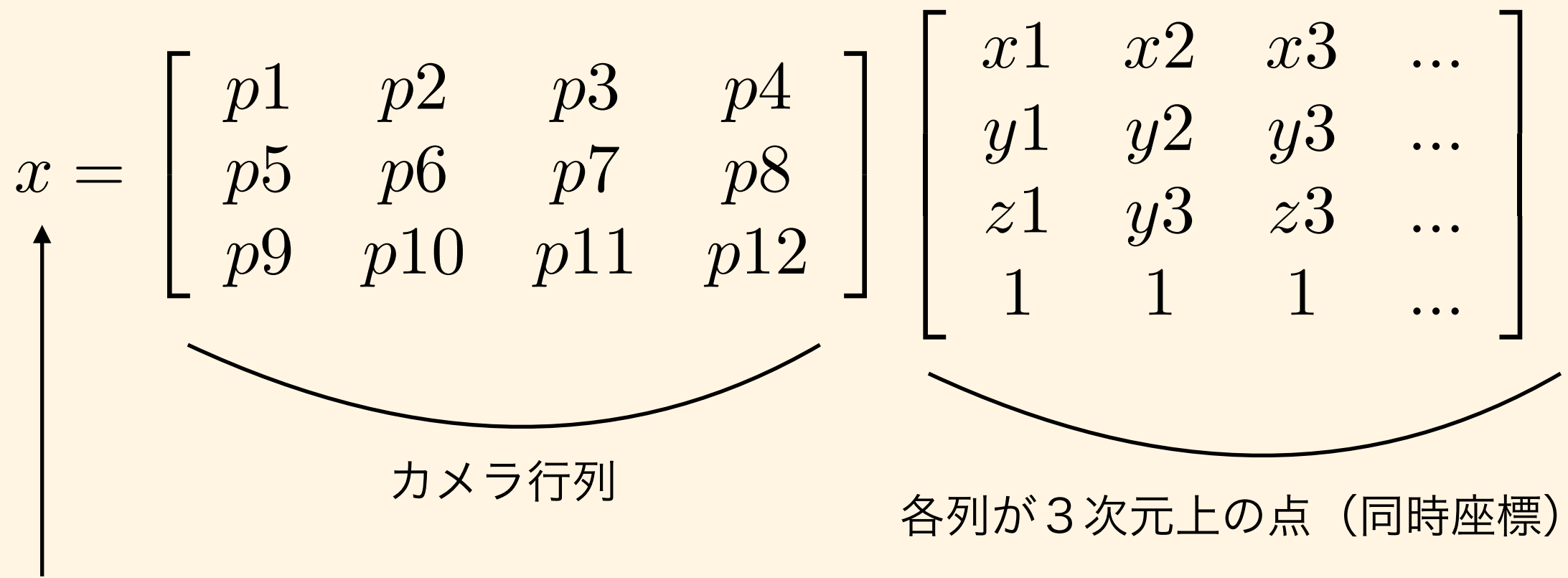
```
array([[ 0, -1,  0], [ 1,  0, -1], [ 2,  1, -1], ..., [639, 665, 511], [640, 666, 512], [641, 667, 513]])
```

```
ipdb> P
```

```
[<camera.Camera object at 0x105a14f90>, <camera.Camera object at 0x105a14190>, <camera.Camera object at 0x105a263d0>]
```

5.1.1.merton2d.pyの説明

$x = P[0].project(X)$

$$x = \begin{bmatrix} p1 & p2 & p3 & p4 \\ p5 & p6 & p7 & p8 \\ p9 & p10 & p11 & p12 \end{bmatrix} \begin{bmatrix} x1 & x2 & x3 & \dots \\ y1 & y2 & y3 & \dots \\ z1 & y3 & z3 & \dots \\ 1 & 1 & 1 & \dots \end{bmatrix}$$


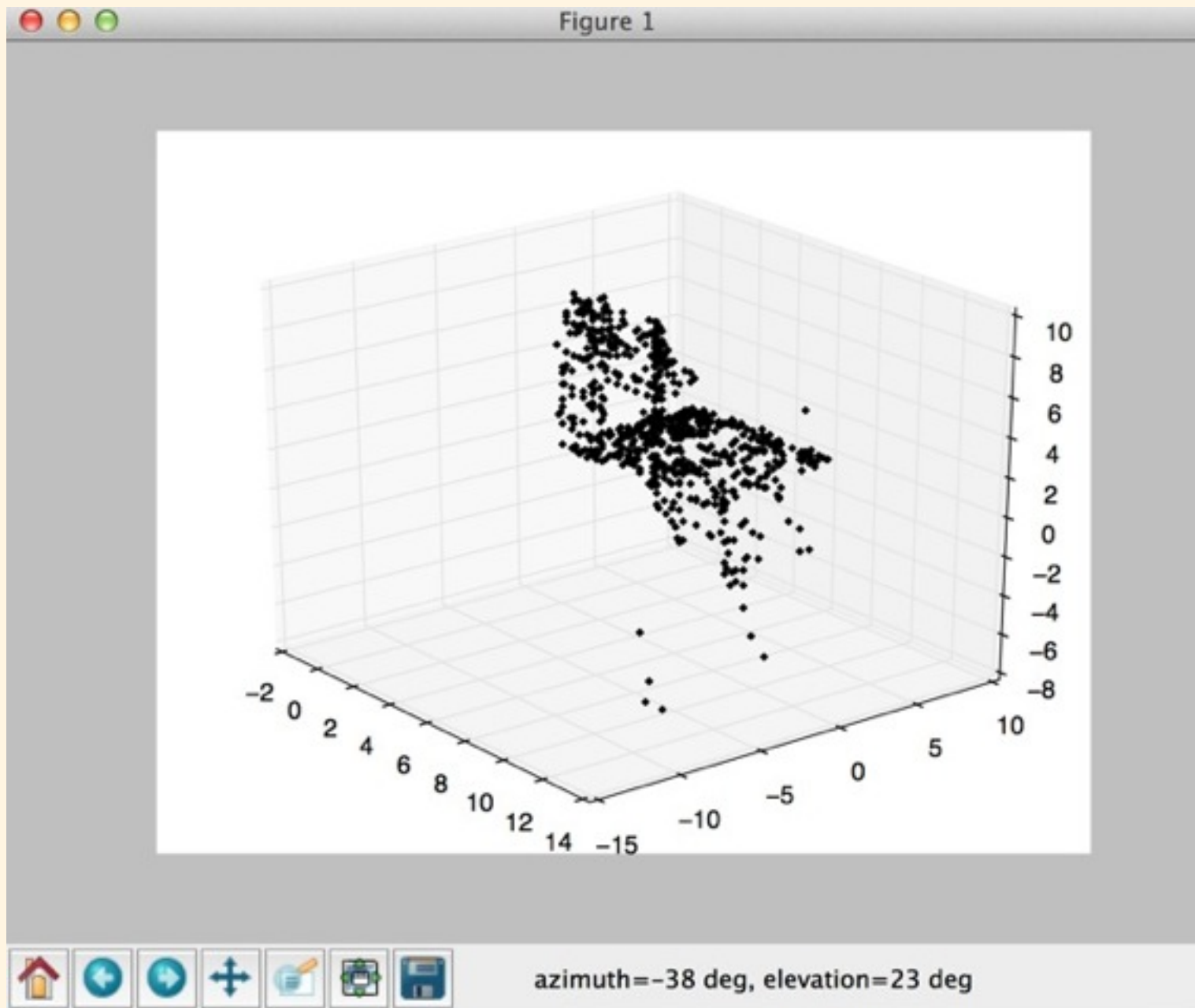
カメラ行列

各列が3次元上の点 (同時座標)

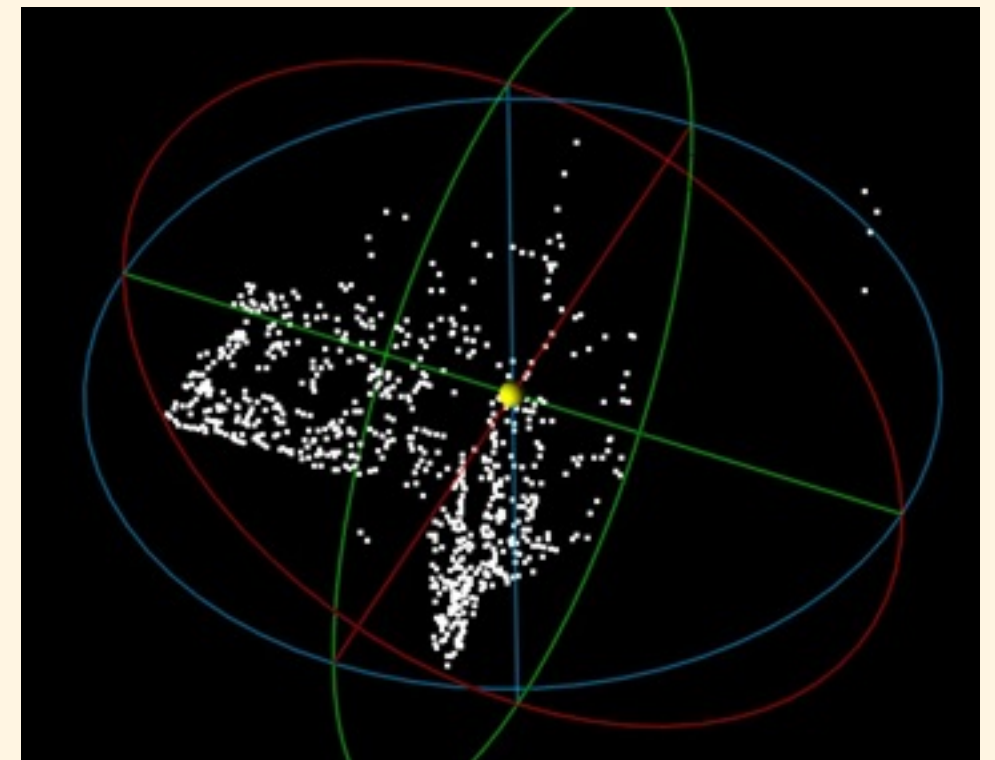
2次元上の点 (同時座標)

Matplotlibによる3Dデータの描画

- 5.1.2.merton3d.pyを実行



CloudCompareでp3dを直接見た場合



F行列の計算 - 8点法

エピポラ制約

$$x'^T F x = 0$$

$$\begin{bmatrix} x' & y' & 1 \end{bmatrix} \begin{bmatrix} f_{11} & f_{12} & f_{13} \\ f_{21} & f_{22} & f_{23} \\ f_{31} & f_{32} & f_{33} \end{bmatrix} \begin{bmatrix} x \\ y \\ 1 \end{bmatrix} = 0$$

$$\begin{bmatrix} x' f_{11} + y' f_{21} + f_{31} & x' f_{12} + y' f_{22} + f_{32} & x' f_{13} + y' f_{23} + f_{33} \end{bmatrix} \begin{bmatrix} x \\ y \\ 1 \end{bmatrix} = 0$$

F行列の計算 - 8点法

$$x'x f_{11} + x'y f_{12} + x' f_{13} + y'x f_{21} + y'y f_{22} + y' f_{23} + x f_{31} + y f_{32} + f_{33} = 0$$

$$\begin{bmatrix} x'x & x'y & x' & y'x & y'y & y' & x & y & 1 \end{bmatrix} \begin{bmatrix} f_{11} \\ f_{12} \\ f_{13} \\ f_{21} \\ f_{22} \\ f_{23} \\ f_{31} \\ f_{32} \\ f_{33} \end{bmatrix} = 0$$

F行列の計算 - 8点法

9成分だがスケールは任意なので、8つの式があれば良い

各対応点の列

$$\begin{bmatrix} x'_1 x_1 & x'_1 y_1 & x'_1 & y'_1 x_1 & y'_1 y_1 & y'_1 & x_1 & y_1 & 1 \\ x'_2 x_2 & x'_2 y_2 & x'_2 & y'_2 x_2 & y'_2 y_2 & y'_2 & x_2 & y_2 & 1 \\ \vdots & \vdots & \vdots & \vdots & \vdots & \vdots & \vdots & \vdots & \vdots \\ x'_n x_n & x'_n y_n & x'_n & y'_n x_n & y'_n y_n & y'_n & x_n & y_n & 1 \end{bmatrix} \begin{bmatrix} f_{11} \\ f_{12} \\ f_{13} \\ f_{21} \\ f_{22} \\ f_{23} \\ f_{31} \\ f_{32} \\ f_{33} \end{bmatrix} = 0$$

A

f

$Af = 0$ を求める

→ $\|f\| = 1$ という条件で $\|Af\|$ を最小化

特異値分解を用いると解ける

$A = UDV^T$ と特異値分解すると $f = V$ の最後の列が解となる

今回は更にFがランク 2 という制約を利用する

$$F = U \begin{bmatrix} r & & \\ & s & \\ & & t \end{bmatrix} V^T \quad (r > s > t)$$

$$F' = U \begin{bmatrix} r & & \\ & s & \\ & & 0 \end{bmatrix} V^T$$

t=0とすることでランク 2

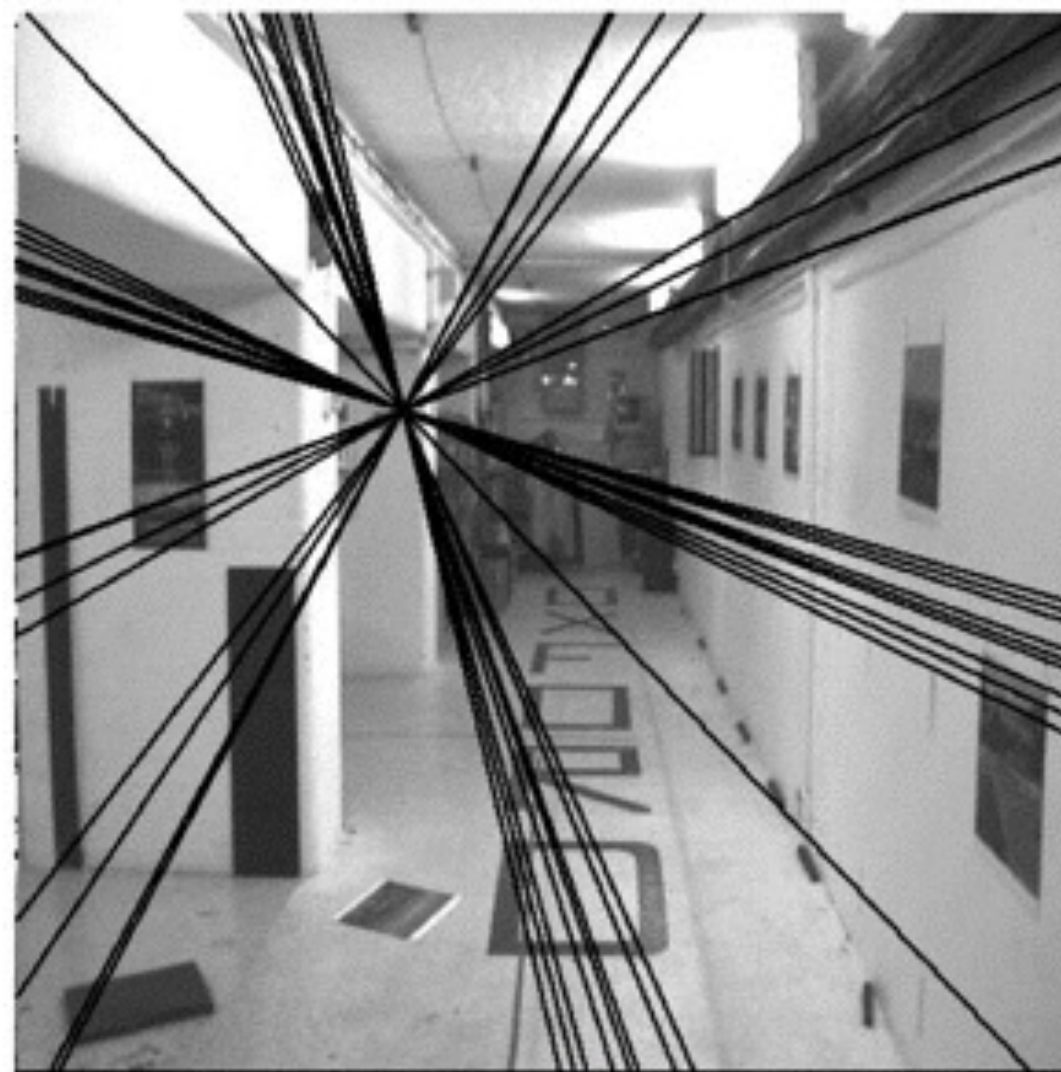
更にこうする事でフルベニウスノルムが最小となる

$$\|F - F'\| = \|UDV^T - UD'V^T\| = \|D - D'\| = t$$

Fが特異行列（→ランク2）でないとエピポール線がエピ極で一点に交わらない



a



b

Fig. 11.1. **Epipolar lines.** (a) the effect of a non-singular fundamental matrix. Epipolar lines computed as $l' = Fx$ for varying x do not meet in a common epipole. (b) the effect of enforcing singularity using the SVD method described here.

エビ極とエビポーラ線

$$Fe = 0$$

Fの右側のゼロベクトルに対応するエビ極

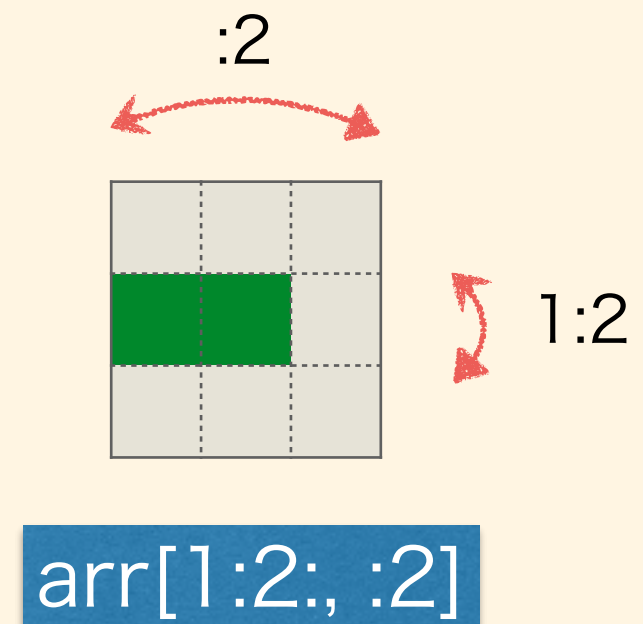
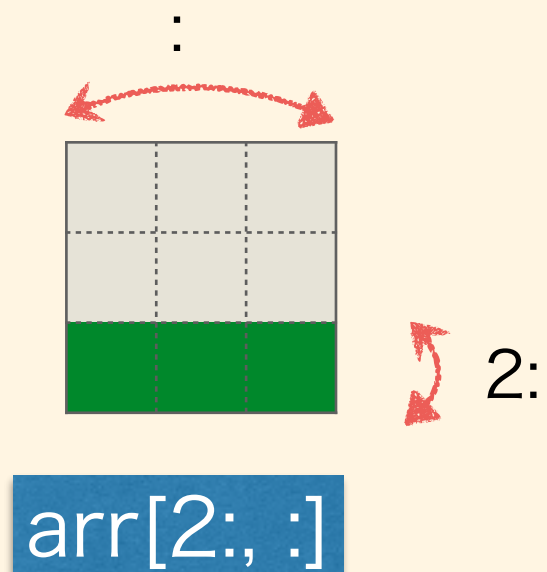
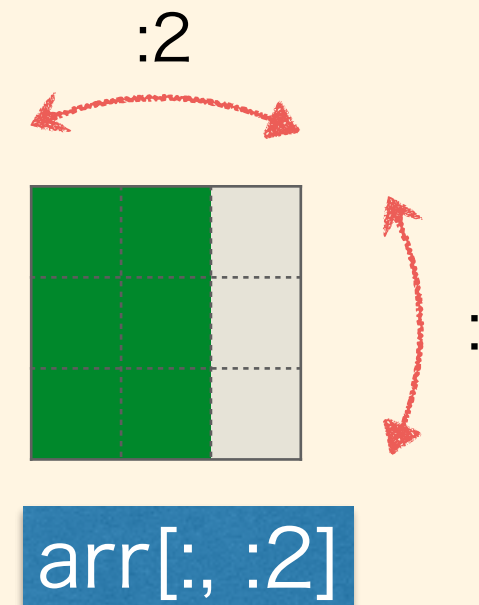
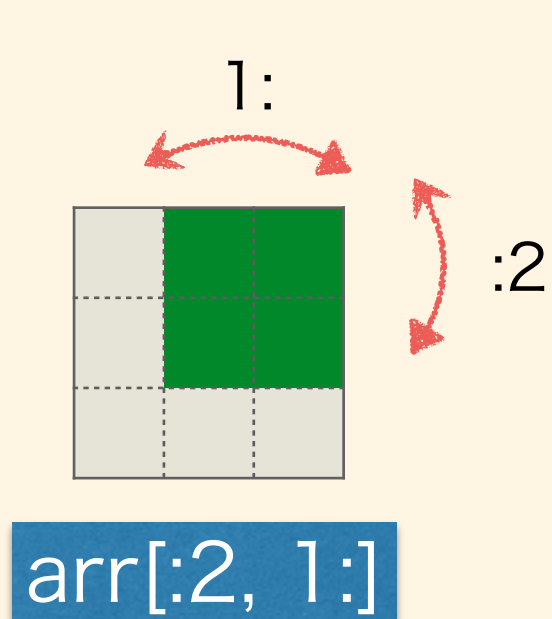
$$e'^T F = F^T e' = 0$$

Fの左側のゼロベクトルに対応するエビ極

$$Ax = 0$$

の形なので特異値分解を利用してxを求める事が出来る

2次元配列のスライシング



5.1.4.sfm.py

最初の2枚の画像の点のインデクス番号

ndx = (corr[:,0]>=0) & (corr[:,1]>=0)# corr:対応関係 *でないものを選択

```
ipdb> ndx
array([False,  True,  True,  True,  True, False,  True, False,  True,
        True, False, False,  True,  True, False,  True,  True,  True,
        True,  True, False,  True,  True,  True,  True,  True, False,
        True,  True,  True,  True,  True,  True,  True, False,  True,
```

座標値を取得し、同次座標系にする

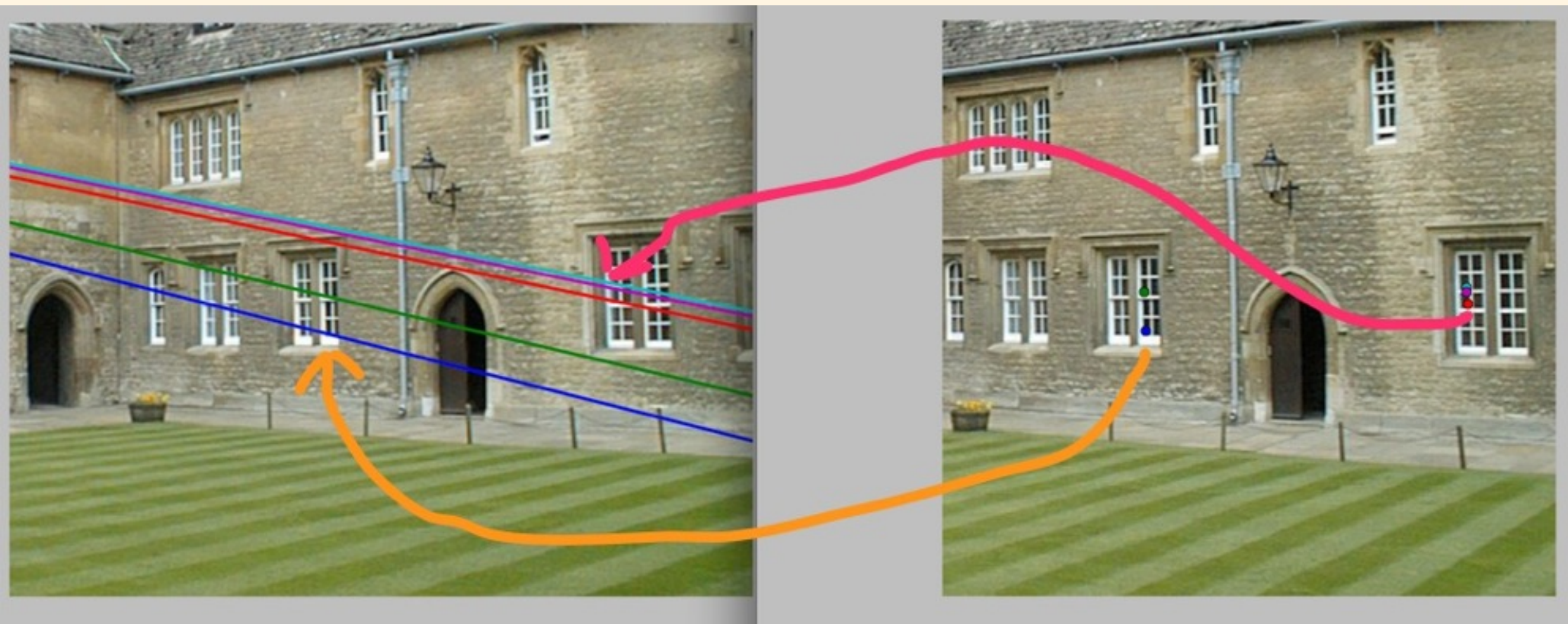
x1 = points2D[0][:,corr[ndx,0]]

x1 = vstack((x1,ones(x1.shape[1])))

```
ipdb> points2D[0]
array([[ 718.79 , 676.587, 675.319, ..., 479.229, 475.771, 474.916],
       [ 263.096, 424.715, 394.656, ..., 441.16 , 429.052, 419.315]])
```

```
ipdb> corr[ndx,0]
array([ 1,  2,  3,  4,  6,  8,  9, 12, 13, 15, 16, 17, 18,
        19, 21, 22, 23, 24, 25, 27, 28, 29, 30, 31, 32, 33,
        35, 36, 37, 38, 41, 43, 45, 46, 48, 49, 51, 52, 53,
```

5.1.4.sfm.py実行結果



三角測量

(カメラ行列から 3 次元の点を計算する)

$$\begin{matrix} 6 \text{ 列} & \left(\begin{bmatrix} P_1 & -x_1 & 0 \\ P_2 & 0 & -x_2 \end{bmatrix} \right) & \begin{bmatrix} X \\ \lambda_1 \\ \lambda_2 \end{bmatrix} = 0 \end{matrix}$$

6 行

$Ax = 0$ の形

$$\lambda_1 x_1 = P_1 X$$

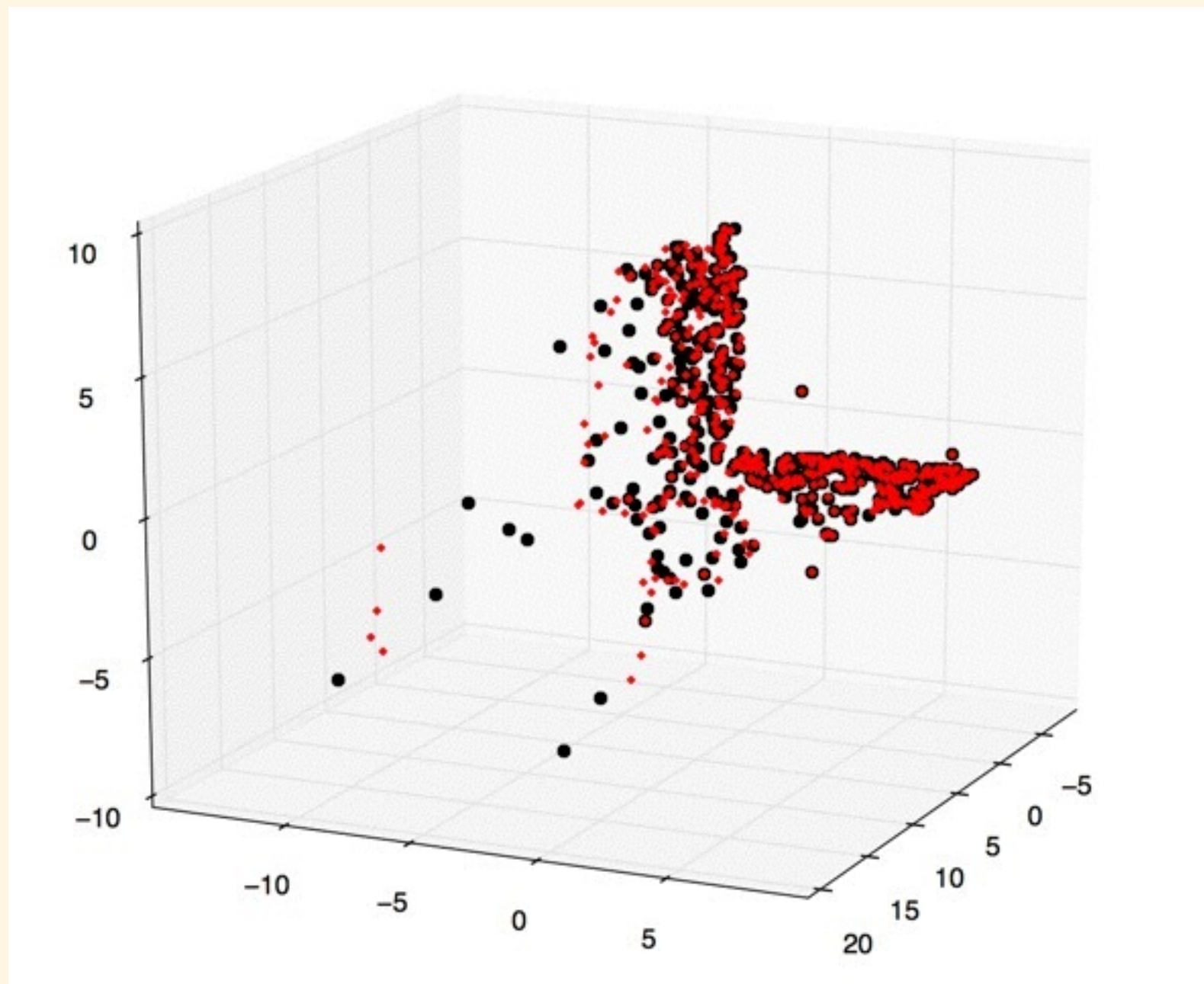
$$\lambda_2 x_2 = P_2 X$$

$$P_1 X - \lambda_1 x_1 + 0 \cdot x_2 = 0$$

$$P_2 X - 0 \cdot x_1 + \lambda_2 \cdot x_2 = 0$$

→ 特異値分解

5.2.1.triangulate.pyを実行



赤丸：正解の点、黒丸：推定した点


3Dの点群からカメラ行列を計算

$$\lambda_1 x_1 = P X_1$$

$$\begin{bmatrix} P_1 \\ P_2 \\ P_3 \end{bmatrix} X_1 - \lambda_1 \begin{bmatrix} x_1 \\ y_1 \\ 1 \end{bmatrix} = 0$$

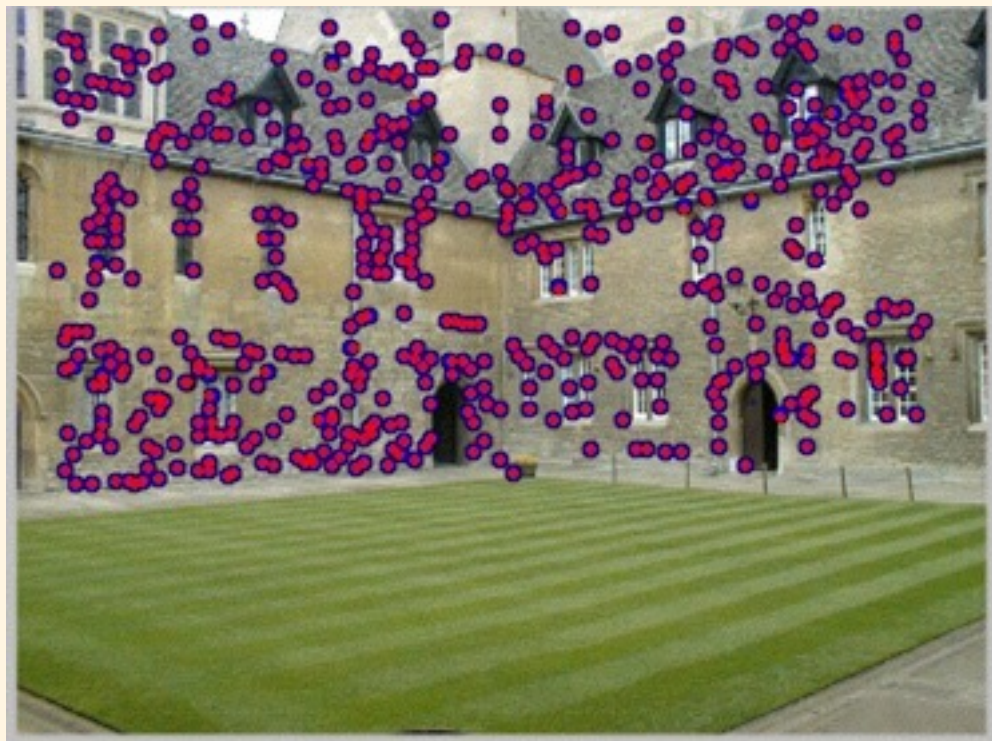
$$P_1 X_1 = [P_{11} \quad P_{12} \quad P_{13}] \begin{bmatrix} x_1 \\ y_1 \\ 1 \end{bmatrix} = [x_1 \quad y_1 \quad 1] \begin{bmatrix} P_{11} \\ P_{12} \\ P_{13} \end{bmatrix} = X_1^T P_1^T$$

$$\begin{bmatrix} X_1^T & 0 & 0 & -x_1 \\ 0 & X_1^T & 0 & -y_1 \\ 0 & 0 & X_1^T & -1 \end{bmatrix} \begin{bmatrix} P_1^T \\ P_2^T \\ P_3^T \\ \lambda_1 \end{bmatrix} = 0 \quad \longrightarrow \quad Ax = 0 \text{ の形}$$

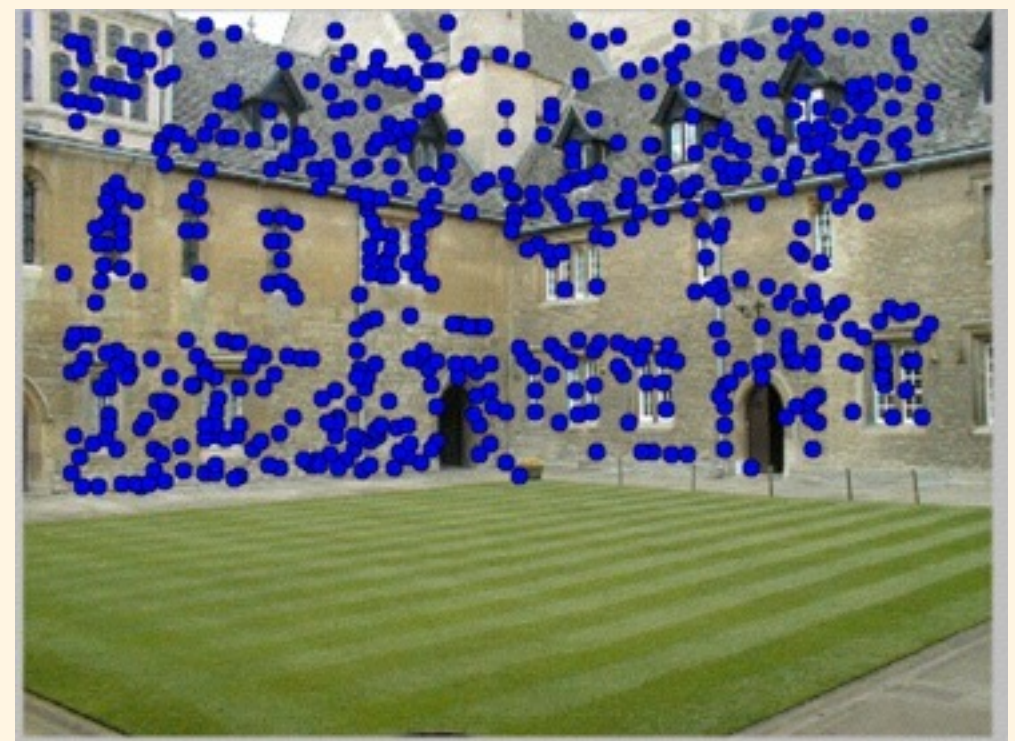
 特異値分解

5.2.2.compute.pyを実行

赤＋青



青のみ



赤：推定結果、青：オリジナル

基礎行列からカメラ行列を計算する

内部パラメータが不明な場合

→復元は射影変換を求めるところまで

$$P_2 = [S_e F \mid e]$$

交代行列

$$A^T = -A$$

$$A = \begin{bmatrix} 0 & -a_2 & a_1 \\ a_2 & 0 & -a_0 \\ -a_1 & a_0 & 0 \end{bmatrix}$$

基礎行列からカメラ行列を計算する

内部パラメータが既知の場合

→スケール以外を正確に復元出来る

$$P = K [R \mid t]$$

$$x = PX = K [R \mid t] X$$

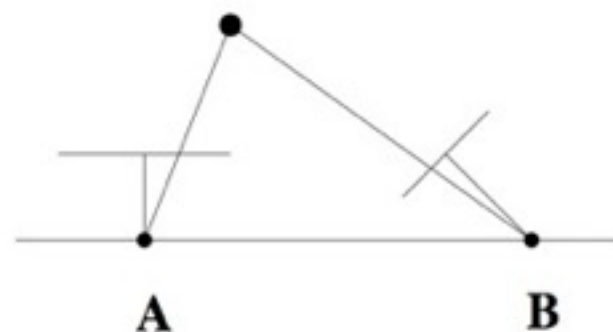
$$x_K = K^{-1}x = K^{-1}K [R \mid t] X = [R \mid t] X$$

$$x_{K_2}^T E x_{K_1} = 0$$

基本行列の4つの解

260

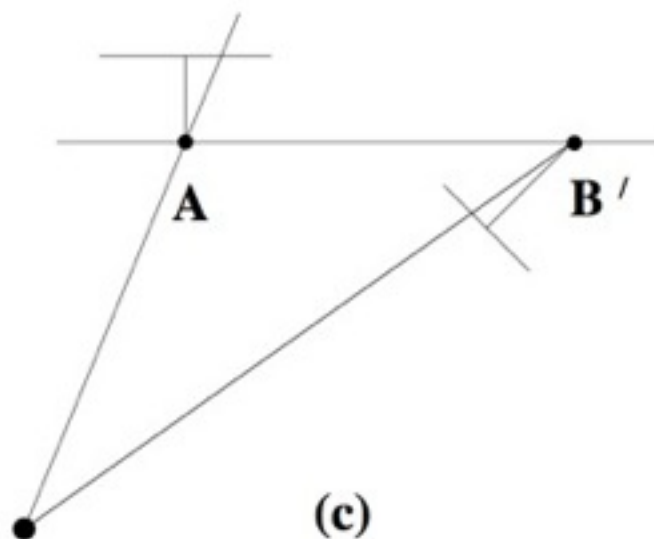
9 Epipolar Geometry and the Fundamental Matrix



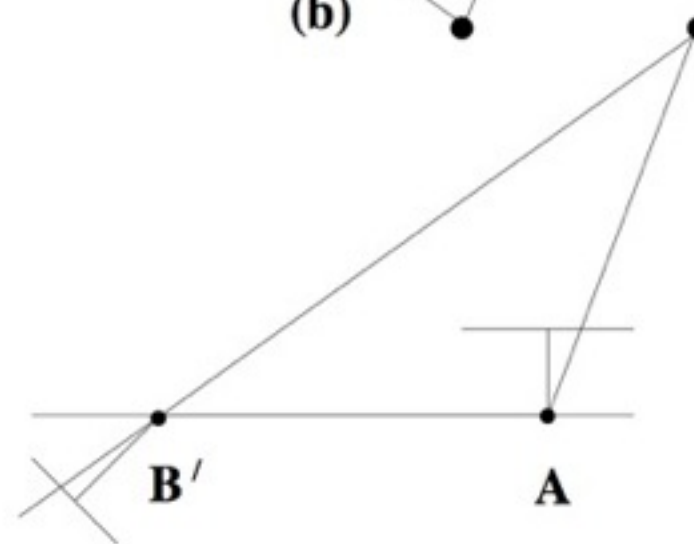
(a)



(b)



(c)



(d)

Fig. 9.12. The four possible solutions for calibrated reconstruction from E. Between the left and right sides there is a baseline reversal. Between the top and bottom rows camera B rotates 180° about the baseline. Note, only in (a) is the reconstructed point in front of both cameras.

ロバストな基礎行列推定

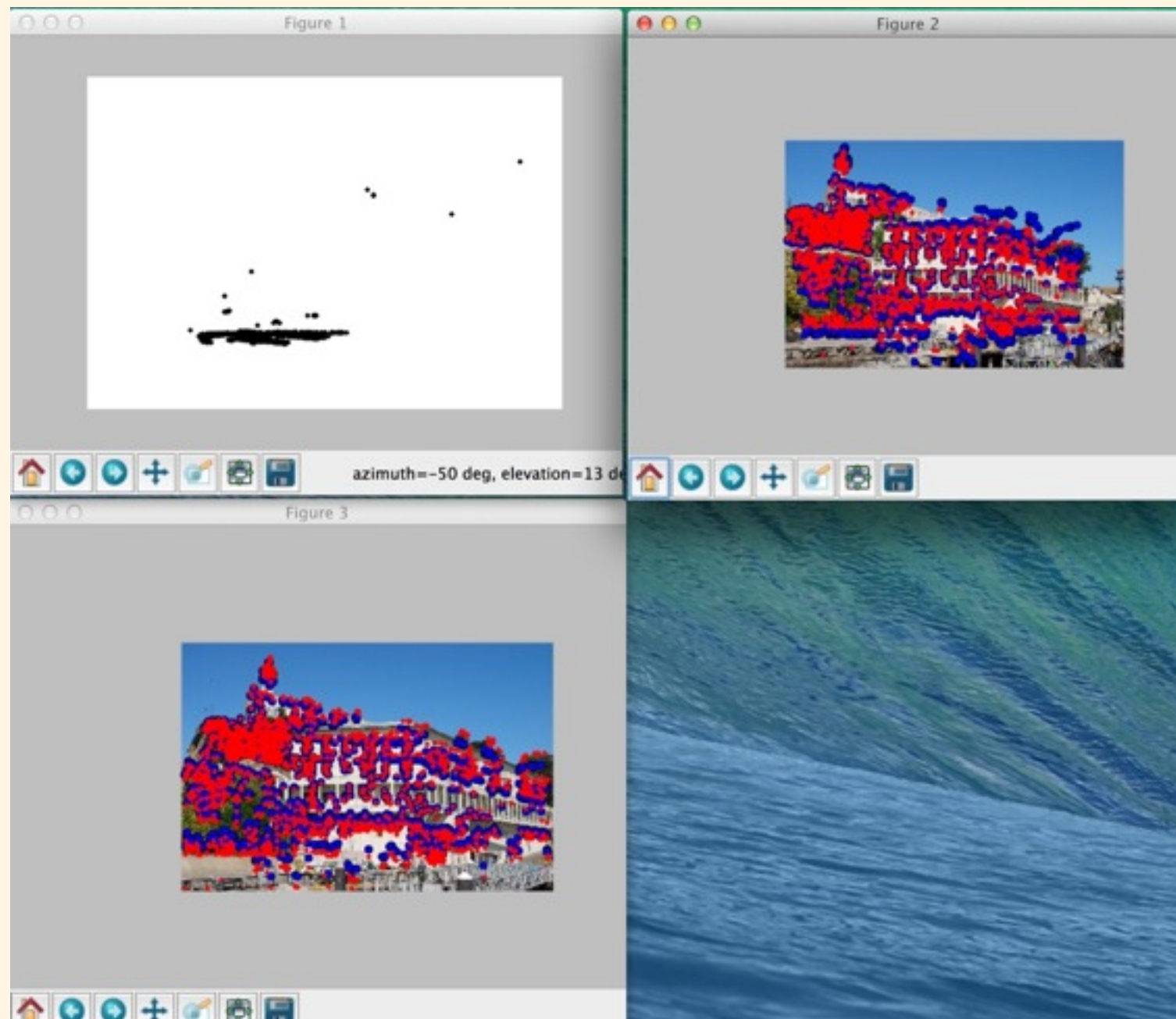
sampson距離

$$\sum \frac{\left(x_i'^T F x_i\right)^2}{(F x_i)_1^2 + (F x_i)_2^2 + (F^T x_i')_1^2 + (F^T x_i')_2^2}$$

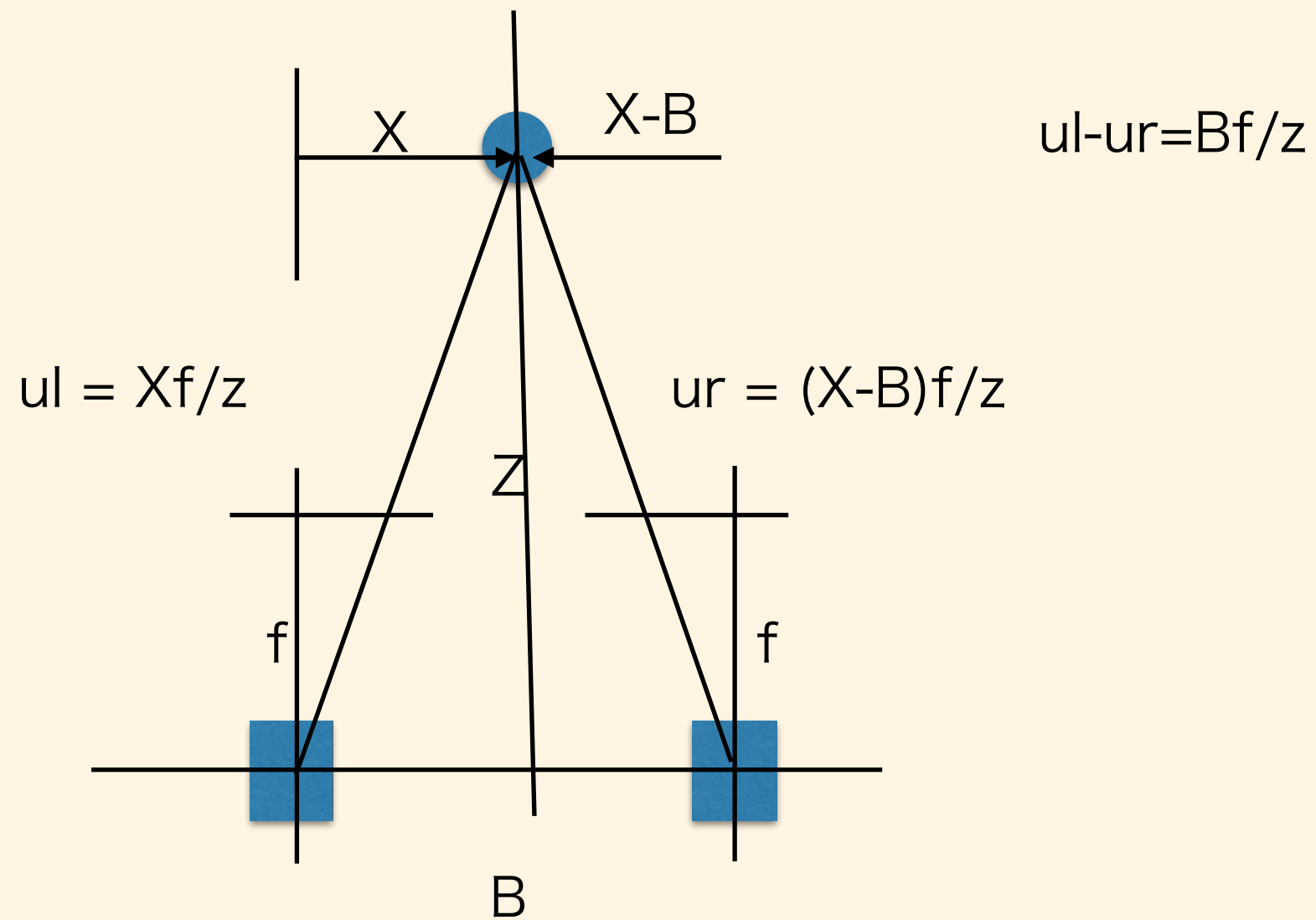
画像の正規化

画像の点群の重心が原点になるように移動し、
分散が1になるように正規化

5.3.2.recons3d.py実行結果



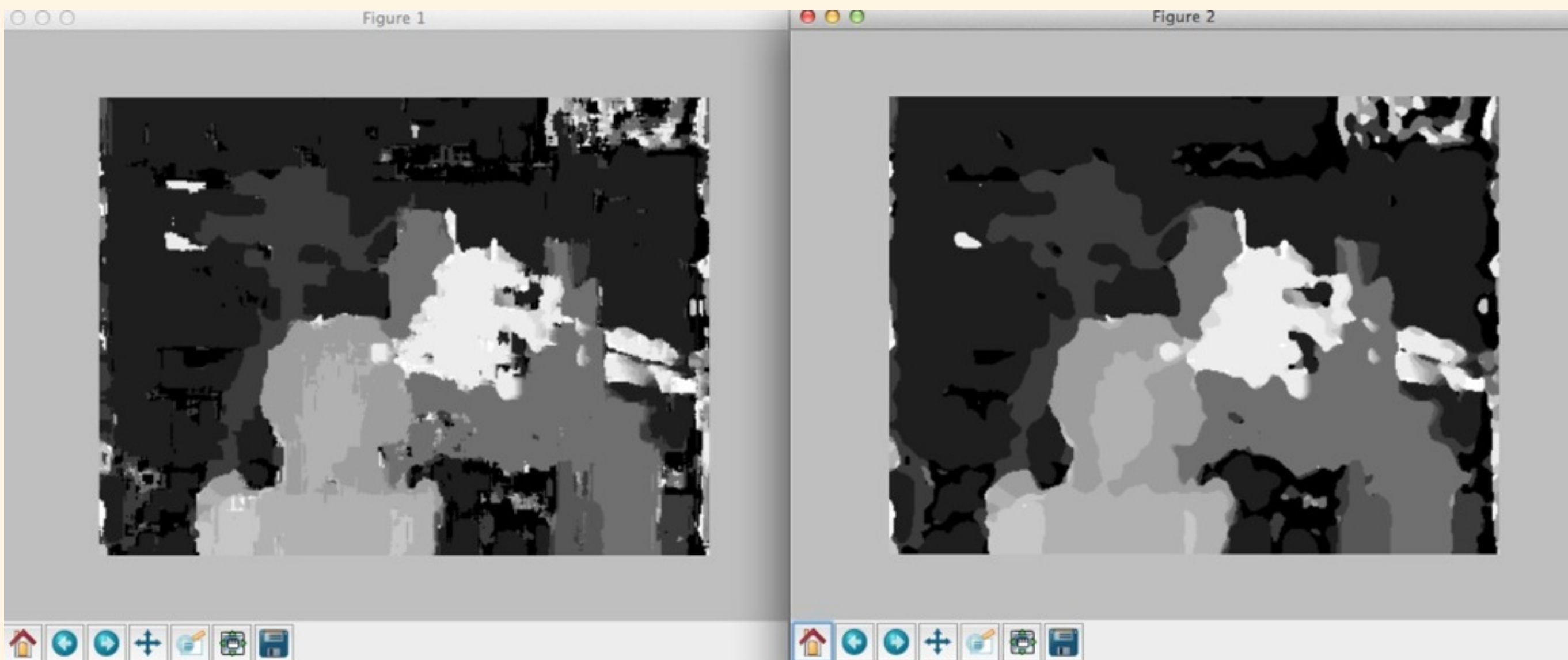
ステレオ原理



NCCとZNCC

<http://imaging-solution.blog107.fc2.com/blog-entry-186.html>

5.4.1.stereo.py実行結果



OpenMVGを使ったstructure from motionの紹介

<http://cflat-inc.hatenablog.com/entry/2013/10/21/214859>